

КОЛЕБАНИЯ ПЛАВАЮЩЕГО КОНТУРА НА ПОВЕРХНОСТИ ТЯЖЕЛОЙ ЖИДКОСТИ

М. Д. Хаскинд

(Николаев)

1. Гидродинамическая постановка задачи о качке цилиндрических судов приводит к задаче об отыскании гармонической функции

$$\Phi(y, z, t) = \varphi(y, z) e^{j\sigma t} \quad (j = \sqrt{-1}) \quad (1.1)$$

удовлетворяющей граничным условиям

$$\frac{\partial \varphi}{\partial z} - v\varphi = 0 \quad \text{при } z = 0, |y| > a \quad \left(v = \frac{\sigma^2}{g}\right) \quad (1.2)$$

$$\frac{\partial \varphi}{\partial n} = v_n(l) \quad \text{на контуре } L \quad (1.3)$$

и асимптотическим условиям

$$\varphi = \left(j \frac{g}{\sigma} r_0 + B_+\right) e^{vz - jvy} \quad \text{при } y \rightarrow +\infty, \quad \varphi = j \frac{g}{\sigma} r_0 e^{vz - jvy} + B e^{vz + jvy} \quad \text{при } y \rightarrow -\infty \quad (1.4)$$

где σ — частота колебаний, v — частотный параметр, g — ускорение силы тяжести, $v_n(l) e^{j\sigma t}$ — нормальная составляющая скорости какой-либо точки контура, $2a = b$ — ширина контура L по ватерлинии, n — внешняя нормаль к контуру, $\Phi^* = jg\sigma^{-1}r_0 e^{vz + j(\sigma t - vy)}$ — потенциал скоростей набегающей системы регулярных волн, $2r_0$ их высота, B_+ и B_- — комплексные по j амплитуды излучаемых волн, причем во всех выражениях, содержащих экспоненциально-временной множитель $e^{j\sigma t}$, следует рассматривать только действительную часть.

В данной работе имеем в виду дать метод построения точного решения задачи в общем случае для широкого класса контуров, при помощи которого могут быть просчитаны до конца все гидродинамические характеристики. В частном виде этот метод применялся нами в работах [1, 2].

2. Для построения решения задачи будем пользоваться функцией

$$w = \varphi(y, z) + i\psi(y, z)$$

комплексного переменного $x = y + iz$ где $i = \sqrt{-1}$ — мнимая единица, не взаимодействующая с мнимой единицей $j = \sqrt{-1}$.

При помощи функции $w(x)$ условие (1.2) может быть представлено в форме

$$\operatorname{Im} \left(\frac{dw}{dx} + i\psi w \right) = 0 \quad \text{при } z = 0, |y| > a \quad (2.1)$$

Условие (2.1) позволяет продолжить функцию $dw/dx + i\psi w$ в верхнюю полуплоскость. В результате получаем голоморфную функцию во всей плоскости x вне контура $L + \bar{L}$, где \bar{L} — зеркальное отражение контура L в верхней полуплоскости.

Вблизи бесконечно удаленной точки справедливо разложение

$$\frac{dw}{dx} + i\psi w = \frac{a_0'}{x} + \frac{b_0'}{x^2} + \dots \quad (2.2)$$

причем в силу условия (2.1) коэффициенты a_0', b_0', \dots действительны относительно мнимой единицы i .

Для построения функции, принимающей всюду конечные значения, воспользуемся идеей Л. И. Седова, развитой им в задаче о глиссировании [3], и введем другую функцию $f(x) = r + is$, связанную с $w(x)$ уравнением

$$\frac{df}{dx} = \frac{dw}{dx} + i\psi w \quad (2.3)$$

Очевидно, что функция $f(x)$ голоморфна всюду вне контура $L + \bar{L}$ и ограничена в точках этого контура.

На основании (2.1) для функции $f(x)$ имеем условие

$$\frac{\partial r}{\partial z} = 0 \quad \text{при } z = 0, |y| > a \quad (2.4)$$

Составим граничное условие для функции r в точках контура L . Умножая обе части равенства (2.3) на величину

$$\frac{dx}{dl} = \frac{dy}{dl} + i \frac{dz}{dl}$$

где dl — элемент дуги контура L , получим

$$\frac{df}{dl} = \frac{dw}{dl} + i\psi w \left(\frac{dy}{dl} + i \frac{dz}{dl} \right)$$

Отделяя в этом соотношении действительную и мнимую части, в результате будем иметь

$$\frac{\partial r}{\partial l} = \frac{\partial \varphi}{\partial l} - \nu \frac{dz}{dl} \varphi - \nu \frac{dy}{dl} \psi, \quad \frac{\partial r}{\partial n} = \frac{\partial \varphi}{\partial n} + \nu \frac{dz}{dl} \psi - \nu \frac{dy}{dl} \varphi \quad (2.5)$$

На контуре L имеем соотношение

$$\frac{\partial \varphi}{\partial n} = - \frac{\partial \psi}{\partial l} = v_n(l) \quad (2.6)$$

Поэтому функция ψ на контуре L известна с точностью до постоянной l

$$\psi = \psi_1 - \int_0^l v_n(l) dl \quad (2.7)$$

где ψ_1 — значение функции ψ в точке $y = a, z = 0$, и интегрирование здесь и в дальнейших интегралах проводится по части контура L от точки $y = a, z = 0$.

Исключаем из соотношений (2.5) неизвестную функцию φ . Для этого, рассматривая первое соотношение как уравнение относительно φ , получаем

$$\varphi = r + e^{\nu z} \left(\varphi_1 - r_1 + \nu \int_0^l e^{-\nu z} r dz + \nu \int_0^l e^{-\nu z} \psi dy \right)$$

или же

$$r + \nu e^{\nu z} \int_0^l e^{-\nu z} r dz = \varphi - e^{\nu z} \left[\varphi_1 - r_1 + \nu \int_0^l e^{-\nu z} \psi dy \right] \quad (2.8)$$

где φ_1 и r_1 — значения функций φ и r в точке $(a, 0)$.

Умножая теперь (2.8) на $\nu (dy/dl)$ и складывая его со вторым уравнением (2.5), получаем условие для r на контуре L :

$$\frac{\partial r}{\partial n} + \nu \frac{dy}{dl} \left[r + \nu e^{\nu z} \int_0^l e^{-\nu z} r dz \right] = v_n + \nu \frac{dz}{dl} \psi - \nu \frac{dy}{dl} e^{\nu z} \left[\varphi_1 - r_1 + \nu \int_0^l e^{-\nu z} \psi dy \right] \quad (2.9)$$

Пусть функция $x = y + iz = F(\tau)$ осуществляет конформное отображение внешности контура $L + \bar{L}$ в плоскости x на внешность единичного круга с центром в начале координат в плоскости τ .

Введем далее вспомогательную переменную

$$\zeta = \xi + i\eta, \quad \tau = e^\zeta, \quad x = F(e^\zeta) = F_1(\zeta)$$

В плоскости ζ контуру L отвечает отрезок оси η от $-\pi$ до 0 , а частям координатной оси $z = 0$ и $|y| > a$ соответствуют полупрямые $\eta = 0$ и $\eta = -\pi$ ($\xi \geq 0$).

Нетрудно видеть, что в плоскости ζ условие (2.4) примет вид:

$$\frac{\partial r}{\partial \eta} = 0 \quad \text{при } \eta = 0 \text{ и } \eta = -\pi \quad (2.10)$$

Преобразуем условие (2.9). Для этого заметим, что при $\xi = 0$ справедливы равенства

$$\frac{\partial r}{\partial n} = \frac{\partial r}{\partial \xi} \left| \frac{d\zeta}{dx} \right|, \quad \frac{dy}{dl} = -\frac{dy}{d\eta} \left| \frac{d\zeta}{dx} \right|, \quad \frac{dz}{dl} = -\frac{dz}{d\eta} \left| \frac{d\zeta}{dx} \right| \quad (2.11)$$

Поэтому, умножая обе части равенства (2.9) на модуль величины $dx/d\zeta$, получим условие при $\xi = 0$ для значений $-\pi < \eta < 0$:

$$\frac{\partial r}{\partial \xi} - \nu \frac{dy}{d\eta} \left[r + \nu e^{\nu z} \int_0^\eta e^{-\nu z} r dz \right] = \Phi_n(\eta) \quad (2.12)$$

где

$$\Phi_n(\eta) = v_n \left| \frac{dx}{d\zeta} \right| - \nu \frac{dz}{d\eta} \psi + \nu \frac{dy}{d\eta} e^{\nu z} \left[\varphi_1 - r_1 + \nu \int_0^\eta e^{-\nu z} \psi dy \right] \quad (2.13)$$

Для отыскания функции f представим ее в виде следующего ряда:

$$f = \sum_{n=1}^{\infty} a_n \tau^{-n} + a_0 \ln \tau = \sum_{n=1}^{\infty} a_n e^{-n\xi + i\eta} + a_0 (\xi + i\eta) \quad (2.14)$$

причем из условия (2.10) следует, что все a_n — действительные коэффициенты. Для того чтобы удовлетворить условию (2.12), составим выражения для r и $dr/d\xi$ при $\xi = 0$:

$$r = \sum_{n=1}^{\infty} a_n \cos n\eta, \quad \frac{dr}{d\xi} = - \sum_{n=1}^{\infty} na_n \cos n\eta + a_0 \quad (2.15)$$

и разложим $\Phi_n(\eta)$ в ряд Фурье по косинусам в промежутке $(-\pi, 0)$:

$$\Phi_n(\eta) = \frac{b_0}{2} + \sum_{n=1}^{\infty} b_n \cos n\eta \quad (2.16)$$

Воспользовавшись этими разложениями, мы сможем условие (2.12) представить в форме

$$\begin{aligned} - \sum_{n=1}^{\infty} na_n \cos n\eta - v \sum_{m=1}^{\infty} a_m \frac{dy}{d\eta} \left[\cos m\eta + ve^{vz} \int_0^{\eta} e^{-vz} \cos m\eta dz \right] + a_0 = \\ = \frac{b_0}{2} + \sum_{n=1}^{\infty} b_n \cos n\eta \end{aligned} \quad (2.17)$$

Разложим далее в ряд Фурье по косинусам в промежутке $(-\pi, 0)$ следующую функцию:

$$- v \frac{dy}{d\eta} \left[\cos m\eta + ve^{vz} \int_0^{\eta} e^{-vz} \cos m\eta dz \right] = \frac{A_{0m}}{2} + \sum_{n=1}^{\infty} A_{nm} \cos n\eta \quad (2.18)$$

где

$$A_{nm} = - \frac{2v}{\pi} \int_{-\pi}^0 \left[\cos m\eta + ve^{vz} \int_0^{\eta} \cos m\eta dz \right] \frac{dy}{d\eta} \cos n\eta d\eta \quad (2.19)$$

Подставив теперь разложение (2.18) в (2.17) и, сравнив коэффициенты при $\cos n\eta$ в обеих частях равенства (2.17), получим бесконечную систему уравнений для коэффициентов a_n и уравнение, определяющее a_0 :

$$a_n = \sum_{m=1}^{\infty} C_{nm} a_m + B_n \quad (n=1, 2, 3, \dots) \quad (2.20)$$

$$a_0 = \frac{1}{2} \sum_{m=1}^{\infty} (b_0 - a_m A_{0m}) \quad (2.21)$$

Здесь

$$C_{nm} = \frac{A_{nm}}{n}, \quad B_n = - \frac{b_n}{n} \quad (2.22)$$

Коэффициенты A_{nm} зависят от частотного параметра v и от геометрических свойств контура L . Контур $L + \bar{L}$ является симметричным как относительно оси y , так и относительно оси z , и характерным его параметрами являются отношение T/a , где T — осадка контура L и коэффициент полноты площади, ограниченной этим контуром. Только эти два параметра существенно влияют на величину гидродинамических характеристик.

Для симметричных контуров отображающая функция $x = F(\tau)$ в окрестности бесконечно удаленной точки имеет следующий вид:

$$x = k_0\tau + \frac{k_1}{\tau} + \frac{k_2}{\tau^3} + \dots \quad (2.23)$$

где k_n — действительные числа. Одна из простейших функций

$$x = \frac{a+T}{2}\tau + \frac{a-T}{2\tau} \quad (2.24)$$

реализует конформное отображение внешности эллипса с полуосами a и T на внешность единичного круга $\tau = e^{i\eta}$.

Если в (2.23) сохранить еще один член, содержащий τ^{-3} , то получим функцию, реализующую конформное отображение внешности семейства плавных симметричных контуров на внешность единичного круга в плоскости τ :

$$x = y + iz = k_0\tau + k_1\tau^{-1} + k_2\tau^{-3} \quad (2.25)$$

Полагая $\tau = e^{i\eta}$ ($\xi = 0$) и отделяя действительную и мнимую части в (2.25), получим уравнения контура в параметрической форме:

$$y = (k_0 + k_1) \cos \eta + k_2 \cos 3\eta, \quad z = (k_0 - k_1) \sin \eta - k_2 \sin 3\eta \quad (2.26)$$

Введем безразмерные параметры p и q при помощи соотношения

$$k_0 = \frac{T}{1+p+q}, \quad k_1 = -pk_0, \quad k_2 = qk_0 \quad (2.27)$$

тогда, положив в (2.26) $\eta = 0$, будем иметь

$$\frac{1+p+q}{1-p+q} = \frac{T}{a} \quad (2.28)$$

Вычисляя далее площадь, ограниченную контуром L , и пользуясь обозначением коэффициента полноты $\beta = S / 2aT$, получим равенство:

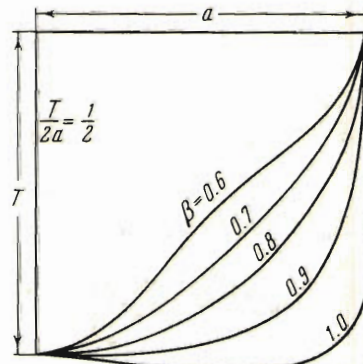
$$\beta = \frac{\pi}{4} \frac{1-p^2-q^2}{(1+p+q)^2} \frac{T}{a} \quad (2.29)$$

Соотношениями (2.28) и (2.29) определяются значения параметров p и q через T/a и β .

На фиг. 1 приводятся очертания контуров для различных значений β при $T/2a = 0.5$.

Очевидно, что если в разложении (2.23) сохранить последующий член, содержащий τ^{-5} , то получим более широкий класс контуров. Однако для задач о качке достаточно класса контуров, которые характеризуются двумя параметрами.

Из всего сказанного следует, что выражение (2.25) может быть положено в основу расчета коэффициентов A_{nm} для широкого класса



Фиг. 1

контуров главных очертаний. Вычислим эти коэффициенты для эллиптического контура $L + \bar{L}$ и проведем анализ разрешимости системы бесконечных уравнений (2.20). Из (2.24) имеем для координат эллиптического контура: $y = a \cos \eta$, $z = T \sin \eta$. Поэтому выражение (2.19) примет вид:

$$A_{nm} = -\frac{2\lambda}{\pi} \int_0^\pi \left[\cos m\eta - \alpha e^{-\alpha \sin \eta} \int_0^\eta e^{\alpha \sin t} \cos mt \cos t dt \right] \cos n\eta \sin \eta d\eta \quad (2.30)$$

где

$$\lambda = va, \quad \alpha = \lambda \frac{T}{a} \quad (2.31)$$

Прежде всего покажем, что $\lim A_{nm} = 0$ при $T/a \rightarrow \infty$. Рассмотрим для этого интеграл

$$J = \alpha e^{-\alpha \sin \eta} \int_0^\eta e^{\alpha \sin t} \cos t \cos mt dt \quad (2.32)$$

Подстановка $\sin \eta - \sin t = u/\alpha$ преобразует его к виду

$$J = \int_0^{\alpha \sin \eta} e^{-u} \cos mt(u) du$$

Отсюда без труда устанавливаем, что $\lim J = \cos m\eta$ при $T/a \rightarrow \infty$ для значений $0 < \eta < \pi$; поэтому $A_{nm} \rightarrow 0$ при $T/a \rightarrow \infty$.

Нетрудно также вычислить значения A_{nm} при $\alpha = 0$ ($T/a = 0$):

$$A_{nm}^{(1)} = -\frac{2\lambda}{\pi} \int_0^\pi \cos m\eta \cos n\eta \sin \eta dn \quad (2.33)$$

Коэффициенты $A_{nm}^{(1)}$ отличны от нуля только для индексов n и m одинаковой четности. Имеем

$$\begin{aligned} A_{2s+1, 2l+1}^{(1)} &= \frac{2\lambda}{\pi} \left[\frac{1}{4(l+s+1)^2 - 1} + \frac{1}{4(l-s)^2 - 1} \right] \\ A_{2s, 2l}^{(1)} &= \frac{2\lambda}{\pi} \left[\frac{1}{4(l+s)^2 - 1} + \frac{1}{4(l-s)^2 - 1} \right] \end{aligned} \quad (2.34)$$

Для удобства вычислений коэффициентов A_{nm} при любых α расчленим выражение (2.30) на две части:

$$A_{nm} = A_{nm}^{(1)} + A_{nm}^{(2)} \quad (2.35)$$

где $A_{nm}^{(1)}$ определяются из формул (2.34), а значения $A_{nm}^{(2)}$ по формуле

$$A_{nm}^{(2)} = -\frac{2\lambda}{\pi} \int_0^\pi \left[\frac{d}{d\alpha} (e^{-\alpha \sin \eta}) \cos n\eta \int_0^\eta \frac{d}{dt} (e^{\alpha \sin t}) \cos t dt \right] d\eta \quad (2.36)$$

Воспользуемся разложением

$$\begin{aligned} \frac{d}{dt} (e^{\alpha \sin t}) &= -2 \sum_{k=1}^{\infty} (-1)^k 2k I_{2k}(\alpha) \sin 2kt + \\ &+ 2 \sum_{k=0}^{\infty} (-1)^k (2k+1) I_{2k+1}(\alpha) \cos (2k+1)\eta \end{aligned} \quad (2.37)$$

где $I_n(\alpha)$ — функция Бесселя от мнимого аргумента,

$$(-1)^k I_{2k}(\alpha) = \frac{1}{\pi} \int_0^\pi \cosh(\alpha \sin x) \cos 2kx dx$$

$$(-1)^k I_{2k+1}(\alpha) = \frac{1}{\pi} \int_0^\pi \sinh(\alpha \sin x) \sin(2k+1)x dx$$

Подставив разложение (2.37) в (2.36) и произведя необходимые вычисления, для коэффициентов $A_{nm}^{(2)}$ получаем следующее выражение:

$$A_{nm}^{(2)} = - \sum_{k=1}^{\infty} (-1)^k 2k I_{2k}(\alpha) \times$$

$$\times \frac{d}{d\alpha} \left[\frac{E_{n+2k+m}^{(2)} + E_{n-2k-m}^{(2)} - 2E_n^{(2)}}{2k+m} + \frac{E_{n+2k-m}^{(2)} + E_{n-2k+m}^{(2)} - 2E_n^{(2)}}{2k-m} \right] -$$

$$- \sum_{k=0}^{\infty} (-1)^k (2k+1) I_{2k+1}(\alpha) \times$$

$$\times \frac{d}{d\alpha} \left[\frac{E_{2k+1+m+n}^{(1)} + E_{2k+1+m-n}^{(1)}}{2k+1+m} + \frac{E_{2k+1-m+n}^{(1)} + E_{2k+1-m-n}^{(1)}}{2k+1-m} \right] \quad (2.38)$$

Здесь

$$E_n^{(1)} = \frac{1}{\pi} \int_0^\pi e^{-\alpha \sin \eta} \sin n\eta d\eta, \quad E_n^{(2)} = \frac{1}{\pi} \int_0^\pi e^{-\alpha \sin \eta} \cos n\eta d\eta \quad (2.39)$$

причем $E_{2p}^{(1)} = 0$, $E_{2p+1}^{(2)} = 0$ и поэтому индексы n и m у коэффициентов $A_{nm}^{(2)}$ одинаковой четности. Коэффициенты $E_{2p+1}^{(1)}$ и $E_{2p}^{(2)}$ выражаются через функции Бесселя I_n и функции Ломмеля-Вебера Ω_n . Имеем

$$E_{2p+1}^{(1)} = -(-1)^p I_{2p+1}(\alpha) - \Omega_{2p+1}(i\alpha), \quad E_{2p}^{(2)} = (-1)^p I_{2p}(\alpha) + i\Omega_{2p}(i\alpha)$$

где

$$\Omega_{2p}(z) = \frac{1}{\pi} \int_0^\pi \sin(z \sin x) \cos 2px dx \quad (2.40)$$

$$\Omega_{2p+1}(z) = -\frac{1}{\pi} \int_0^\pi \cos(z \sin x) \sin(2p+1)x dx$$

Таким образом, система уравнений (2.20) распадается на две независимые системы бесконечных уравнений — одна для a_n с нечетными индексами и другая для a_n с четными индексами:

$$a_{2s+1} = \sum_{l=0}^{\infty} C_{sl}^{(1)} a_{2l+1} + B_{2s+1} \quad (s = 0, 1, 2, \dots) \quad (2.41)$$

$$a_{2s} = \sum_{l=1}^{\infty} C_{sl}^{(2)} a_{2l} + B_{2s} \quad (s = 1, 2, 3, \dots) \quad (2.42)$$

тогда

$$C_{sl}^{(1)} = \frac{A_{2s+1, 2l+1}}{2s+1}, \quad C_{sl}^{(2)} = \frac{A_{2s, 2l}}{2s} \quad (2.43)$$

Выясним, при каких условиях суммы $|C_{s_0}^{(i)}| + |C_{s_1}^{(i)}| + \dots$ при всех значениях s остаются меньше одного и того же числа, меньшего единицы, и, следовательно, при этих условиях системы (2.41) и (2.42) принадлежат к числу вполне регулярных систем, хорошо изученных и удобных для решения. Прежде всего в силу предельного перехода в (2.32) имеем $\lim(|C_{s_0}^{(i)}| + |C_{s_1}^{(i)}| + \dots) = 0$ при $T/a \rightarrow \infty$. Поэтому при достаточно больших T/a системы (2.41) и (2.42) являются вполне регулярными.

Покажем также, что системы (2.41) и (2.42) являются вполне регулярными при малых значениях T/a . Используя разложения (2.18) при $\eta = 0$ и формулы (2.34) и (2.43), можно показать, что при $T/a = 0$

$$\sum_{l=0}^{\infty} |C_{sl}^{(1)}| = \frac{4\lambda}{\pi(2s+1)} \left(1 - \frac{1}{4(2s+1)^2 - 1}\right) \quad (s=0, 1, 2, \dots)$$

$$\sum_{l=1}^{\infty} |C_{sl}^{(2)}| = \frac{4\lambda}{\pi s} \left(1 - \frac{1}{16s^2 - 1} - \frac{1}{8s^2 - 2}\right) \quad (s=1, 2, 3, \dots)$$

Отсюда

$$\sum_{l=0}^{\infty} |C_{sl}^{(1)}| \leq \frac{8\lambda}{3\pi}, \quad \sum_{l=1}^{\infty} |C_{sl}^{(2)}| \leq \frac{92\lambda}{30\pi}$$

Здесь знак равенства в первой сумме имеет место при $s=0$, а во второй сумме при $s=1$. Таким образом, указанные суммы при малых T/a меньше одного и того же числа, меньшего единицы, если $\lambda < \frac{30}{92}\pi$.

Если система коэффициентов B_n ограничена по модулю в своей совокупности, т. е. независимо от индекса n , что, очевидно, имеет место в нашем случае, так как $B_n = -b_n/n$, где b_n являются коэффициентами ряда Фурье, то, как следует из теории вполне регулярных систем, системы (2.41) и (2.42) имеют единственное ограниченное решение для неизвестных коэффициентов, причем для решения вполне регулярных систем можно воспользоваться методом последовательных приближений.

Покажем еще, что при малых и больших значениях T/a и любых λ системы (2.41) и (2.42) удовлетворяют условиям разрешимости при помощи бесконечных определителей. Для этого представим, например, систему (2.41) в несколько иной форме:

$$a_{2s+1} = \sum_{l=0}^{\infty} C_{sl}' a_{2l+1} + B_{2s+1} \quad (s=0, 1, 2, \dots)$$

где

$$C_{ll}' = 0, \quad C_{sl}' = \frac{A_{2s+1, 2l+1}}{2s+1 - A_{2s+1, 2s+1}}, \quad B_{2s+1}' = -\frac{b_{2s+1}}{2s+1 - A_{2s+1, 2s+1}}$$

Легко видеть, что ряд $|B_1'| + |B_3'| + |B_5'| + \dots$ сходится и что при малых и больших значениях T/a двойной ряд, составленный из суммы коэффициентов $C_{sl}'^2$ сходится для всех λ . Принимая во внимание, что $C_{ll}' = 0$ при любом l , убеждаемся в выполнении достаточных условий для разрешимости системы (2.41) при помощи бесконечных определителей. Подобным путем доказывается разрешимость уравнений (2.42).

3. Если функция $f(x)$ определена, то, рассматривая соотношение (2.3) как дифференциальное уравнение относительно $w(x)$ и стремясь частично удовлетворить условиям (1.4), найдем

$$w(x) = e^{-ivx} \left[j \frac{g}{\sigma} r_0 (1 - ij) + A^1 + iA_2 + \int_{+\infty}^x \frac{df}{dx} e^{ivx} dx \right] \quad (3.1)$$

где A_1 и A_2 — постоянные интегрирования.

Из формулы (3.1) получаем, что на далеких расстояниях от контура L волновое движение определяется функциями

$$\begin{aligned} w(x) &= \left[j \frac{g}{\sigma} r_0 (1 - t) + A_1 + iA_2 \right] e^{-ivx} && \text{при } x \rightarrow +\infty \\ w(x) &= \left[j \frac{g}{\sigma} r_0 (1 - ij) + B_1 + iB_2 \right] e^{-ivx} && \text{при } x \rightarrow -\infty \end{aligned} \quad (3.2)$$

где

$$B_1 + iB_2 = A_1 + iA_2 + \int_{+\infty}^{-\infty} \frac{df}{dx} e^{ivx} dx$$

В этой формуле путь интегрирования проходит по кривой, соединяющей точки $x = +\infty$ и $x = -\infty$ и расположенной в нижней полуплоскости ниже контура L .

Легко поэтому видеть, что указанный путь интегрирования можно заменить контуром C , охватывающим контур $L + \bar{L}$ и обходимым по ходу часовой стрелки:

$$B_1 + iB_2 = A_1 + iA_2 + \int_C \frac{df}{dx} e^{ivx} dx$$

Заменив здесь функцию f разложением (2.14) и полагая затем $\tau = \zeta^{-1}$, будем иметь следующее выражение:

$$B_1 + iB_2 = A_1 + iA_2 - a_0 \int_K e^{ivx} \frac{d\zeta}{\zeta} + \sum_{n=1}^{\infty} n a_n \int_K \zeta^{n-1} e^{ivx} d\zeta$$

Здесь K — замкнутый контур, содержащий точку $\zeta = 0$ и обходимый против хода часовой стрелки.

Введем обозначение

$$D_n = D_n^{(1)} + iD_n^{(2)} = \int_K \zeta^{n-1} e^{ivx} d\zeta \quad (3.3)$$

Тогда предыдущее равенство примет вид:

$$B_1 + iB_2 = A_1 + iA_2 - a_0 (D_0^{(1)} + iD_0^{(2)}) + \sum_{n=1}^{\infty} n a_n (D_n^{(1)} + iD_n^{(2)}) \quad (3.4)$$

Отделяя в (3.2) действительную часть, убеждаемся, что для полного удовлетворения условий (1.4) следует положить

$$\begin{aligned} A_1 &= jA_2 = B_+ \\ B_1 &= -jB_2 = B_- \end{aligned} \quad (3.5)$$

Следовательно, заменив в (3.4) i на j и затем на $-j$, получаем выражение для B_+ и B_- :

$$\begin{aligned} B_+ &= \frac{1}{2} \left[a_0 (D_0^{(1)} + j D_0^{(2)}) - \sum_{n=1}^{\infty} n a_n (D_n^{(1)} + j D_n^{(2)}) \right] \\ B_- &= -\frac{1}{2} \left[a_0 (D_0^{(1)} - j D_0^{(2)}) - \sum_{n=1}^{\infty} n a_n (D_n^{(1)} - j D_n^{(2)}) \right] \end{aligned} \quad (3.6)$$

Эти формулы позволяют вычислить B_+ и B_- , если, кроме a_n , известны также D_n . Для вычисления последних рассмотрим плавные контуры, для которых согласно (2.25) отображающая функция имеет вид:

$$x = k_0 \tau + k_1 \tau^{-1} + k_2 \tau^{-3} = k_1 \zeta + \frac{k_0}{\zeta} + k_2 \zeta^3$$

Подставим это выражение в (3.3) и затем положим

$$\zeta = \left(\frac{k_0}{k_1}\right)^{1/2} t = \left(-\frac{1}{p}\right)^{1/2} t$$

В результате будем иметь

$$D_n = \left(-\frac{1}{p}\right)^{1/2 n} \int_K' t^{n-1} \exp \left[\frac{i\mu}{2} \left(t + \frac{1}{t} + \gamma t^3\right)\right] dt$$

где

$$\mu = 2\sqrt{k_0 k_1} = 2\sqrt{k_0} (-p)^{1/2}, \quad \gamma = \frac{k_0 k_2}{k_1^{3/2}} = q p^{-2} \quad (3.7)$$

Разлагая далее $\exp \left[\frac{1}{2} i \mu \gamma t^3\right]$ в ряд по степеням t , найдем

$$D_n = \left(-\frac{1}{p}\right)^{1/2 n} \sum_{k=0}^{\infty} \left(\frac{\mu \gamma}{2}\right)^k \frac{i^k}{k!} \int_K' t^{n+3k-1} \exp \left[\frac{i\mu}{2} \left(t + \frac{1}{t}\right)\right] dt$$

Интегральные слагаемые в этой форме легко определяются через функции Бесселя, и окончательно получаем следующее выражение:

$$D_n = 2\pi \left(-\frac{1}{p}\right)^{1/2 n} \sum_{k=0}^{\infty} \left(\frac{\mu \gamma}{2}\right)^k \frac{i^{n+4k+1}}{k!} J_{n+3k}(\mu) \quad (3.8)$$

Отметим некоторые частные случаи. Прежде всего при $T/a \rightarrow 1$ ($p \rightarrow 0$) выражение (3.8) принимает вид:

$$D_n = 2\pi i \left(\frac{i\mu_0}{2}\right)^n \sum_{k=0}^{\infty} \left(\frac{i^4 \mu_0^4 q}{2^4}\right)^k \left(\frac{1}{k! (n+3k)!}\right) \quad (\mu_0 = 2\sqrt{k_0} = \frac{2\sqrt{T}}{1+q}) \quad (3.9)$$

Далее, рассматривая случай эллиптического контура и полагая в (3.8) $q = 0$ ($\gamma = 0$), получаем

$$D_n = 2\pi i^{n+1} \left(\frac{a+T}{a-T}\right)^{1/2 n} J_n(\sqrt{a^2 - T^2}) \quad \text{при } a > T \quad (3.10)$$

$$D_n = 2\pi i^{n+1} \left(\frac{a+T}{T-a}\right)^{1/2 n} I_n(\sqrt{T^2 - a^2}) \quad \text{при } a < T \quad (3.11)$$

В частности, при $T = a$ имеем

$$D_n = 2\pi i^{n+1} \frac{(\nu T)^n}{n!} \quad (3.12)$$

что также вытекает из более общей формулы (3.9).

Наконец, отметим, что для эллиптического контура формулам (3.6) можно придать следующий вид:

$$\begin{aligned} B_+ &= \pi j a_0 J_0 (\nu \sqrt{a^2 - T^2}) - \pi \sum_{n=1}^{\infty} n a_n \left(\frac{a+T}{a-T} \right)^{1/2} j^{n+1} J_n (\nu \sqrt{a^2 - T^2}) \\ B_- &= \pi j a_0 J_0 (\nu \sqrt{a^2 - T^2}) + \pi \sum_{n=1}^{\infty} n a_n \left(\frac{a+T}{a-T} \right)^{1/2} (-i)^{n+1} J_n (\nu \sqrt{a^2 - T^2}) \end{aligned} \quad (3.13)$$

в котором при $T > a$ и $T = a$ нужно произвести замену согласно (3.11) и (3.12).

Перейдем теперь к определению постоянных r_1 , φ_1 и ψ_1 , от которых линейно зависят коэффициенты a_n и, следовательно, B_+ и B_- . Положим $\eta = 0$ в выражении (2.15) для r , тогда получим следующее уравнение:

$$r_1 = a_1 + a_2 + a_3 + \dots \quad (3.14)$$

Далее, положив в (3.1) $x = a$, затем заменив функцию f разложением (2.14) и отделив действительную и мнимую части, получим уравнения для φ_1 и ψ_1 :

$$\varphi_1 = \left(j \frac{g}{\sigma} r_0 + A_+ \right) e^{-j\nu a} + a_0 P_0 - \sum_{n=1}^{\infty} n a_n P_n \quad (3.15)$$

$$\psi_1 = \left(\frac{g}{\sigma} r_0 - j B_- \right) e^{-j\nu a} + a_0 Q_0 - \sum_{n=1}^{\infty} n a_n Q_n \quad (3.16)$$

где

$$P_n + iQ_n = e^{-j\nu a} \int_{+\infty}^1 e^{j\nu x(\tau)} \tau^{-n-1} d\tau = -e^{-j\nu a} \int_0^1 \zeta^{n-1} e^{j\nu x(\zeta)} d\zeta \quad (3.17)$$

Для вычисления функций P_n и Q_n прежде всего установим рекуррентное соотношение. Рассматривая класс контуров плавных очертаний и интегрируя в (3.17) по частям, находим

$$\begin{aligned} k_1 (P_{n+1} + iQ_{n+1}) + 3k_2 (P_{n+3} + iQ_{n+3}) - k_0 (P_{n-1} + iQ_{n-1}) + \\ + \frac{n}{i\nu} (P_n + iQ_n) = \frac{i}{\nu} \end{aligned} \quad (3.18)$$

Отсюда все функции P_n и Q_n выражаются через эти же функции со значениями $n = 0, 1, 2, 3$. В частности, для эллиптического контура ($k_2 = 0$) функции P_n и Q_n выражаются только через P_0 , Q_0 , P_1 и Q_1 , причем при $T = 0$ эти функции выражаются через функции Ганкеля.

Имеем

$$P_0 + iQ_0 = -\frac{\pi}{2} ie^{-i\lambda} H_0^{(1)}(\lambda), \quad P_1 + iQ_1 = \frac{\pi}{2} e^{-i\lambda} H_1^{(1)}(\lambda) + \frac{i}{\lambda} \quad (\lambda = \nu a) \quad (3.19)$$

Наиболее простые выражения функций P_n и Q_n получаем для контура, имеющего форму полуокружности. В этом случае $x(\tau) = a\tau$ и, следовательно,

$$P_n + iQ_n = \lambda^n e^{-i\lambda} \int_{+\infty}^{\lambda} \frac{e^{it} dt}{t^{n+1}}$$

Соответствующее рекуррентное соотношение имеет вид:

$$P_n + iQ_n = \frac{i\lambda}{n} (P_{n-1} + iQ_{n-1}) - \frac{1}{n}$$

Отсюда все P_n и Q_n выражаются только через P_0 и Q_0 . Последние же выражаются через интегральный синус и косинус

$$P_0 + iQ_0 = e^{-i\lambda} (ci\lambda + isi\lambda)$$

Поэтому

$$\begin{aligned} P_n + iQ_n &= \\ &= -\frac{1}{n} - \frac{i\lambda}{n(n-1)} - \frac{(i\lambda)^2}{n(n-1)(n-2)} - \cdots + \frac{(i\lambda)^n}{n!} e^{-i\lambda} (ci\lambda + isi\lambda) \end{aligned} \quad (3.20)$$

Вернемся к системе уравнений (3.14) — (3.16). Коэффициенты a_n и, следовательно, B_+ и B_- линейно зависят от νr_1 , $\nu\varphi_1$ и $\nu\psi_1$. Поэтому определитель $\Delta(\nu)$ системы (3.14) — (3.16) относительно неизвестных r_1 , φ_1 и ψ_1 при $\nu = 0$ равен единице. Так как $\Delta(\nu)$ есть непрерывная функция от $\nu \geq 0$, то $\Delta(\nu) > 0$ при достаточно малых ν . Следовательно, при малых ν величины r_1 , φ_1 и ψ_1 определяются единственным способом.

4. Выведем теперь общие формулы для вычисления гидродинамических сил. Прежде всего для давления в любой точке жидкости имеем

$$p = -\rho j \sigma \varphi(y, z) e^{j\sigma t}$$

Здесь не учтено гидростатическое давление, результирующая и момент которого легко вычисляются.

Обозначим через Y , Z и M_x проекции гидродинамических сил и их момент, действующие на контур L ; тогда для них имеем

$$\begin{aligned} Y &= - \int_L p \cos(n, y) dl, \quad Z = - \int_L p \cos(n, z) dl \\ M_x &= - \int_L p (y \cos(n, z) - z \cos(n, y)) dl \end{aligned}$$

или же

$$\begin{aligned} Y &= -\rho j \frac{g}{\sigma} e^{j\sigma t} \int_L \nu \varphi dz, \quad Z = \rho j \frac{g}{\sigma} e^{j\sigma t} \int_L \nu \varphi dy \\ M_x &= \rho j \frac{g}{\sigma} e^{j\sigma t} \int_L \nu \varphi (y dy + z dz) \end{aligned}$$

Для дальнейшего вычисления воспользуемся соотношениями, вытекающими из (2.5)

$$\nu \frac{dz}{dl} \varphi = \frac{\partial \varphi}{\partial l} - \nu \frac{dy}{dl} \psi - \frac{\partial r}{\partial l}, \quad \nu \frac{dy}{dl} \varphi = \frac{\partial \varphi}{\partial n} + \nu \frac{dz}{dl} \psi - \frac{\partial r}{\partial n}$$

Поэтому предыдущие формулы принимают вид:

$$\begin{aligned} Y &= -\rho j \frac{g}{\sigma} e^{j\sigma t} \int_L \left(\frac{\partial \varphi}{\partial l} - v \frac{dy}{dl} \psi - \frac{\partial r}{\partial l} \right) dl \\ Z &= \rho j \frac{g}{\sigma} e^{j\sigma t} \int_L \left(\frac{\partial \varphi}{\partial n} + v \frac{dz}{dl} \psi - \frac{\partial r}{\partial n} \right) dl \\ M_x &= \rho j \frac{g}{\sigma} e^{j\sigma t} \int_L \left[\left(\frac{\partial \varphi}{\partial l} z + \frac{d\varphi}{dn} y - v \left(z \frac{dy}{dl} - \frac{dz}{dl} y \right) \psi - \left(\frac{\partial r}{\partial l} z + \frac{\partial r}{\partial n} y \right) \right) \right] dl \end{aligned} \quad (4.1)$$

Проведем вначале вычисление вертикальной составляющей гидродинамических сил. На основании условия (2.4) имеем

$$\int_L \frac{\partial r}{\partial n} dl = \frac{1}{2} \int_{L+L} \frac{\partial r}{\partial n} dl = -\frac{1}{2i} \int_{L+L} df$$

причем интегрирование проводится по ходу часовой стрелки.

Воспользовавшись далее выражением (2.14) и теоремой о вычетах, находим

$$\int_L \frac{\partial r}{\partial n} dl = \pi a_0$$

и, следовательно,

$$Z = \rho j \frac{g}{\sigma} e^{j\sigma t} \left[\int_L \left(\frac{\partial \varphi}{\partial n} + v \frac{dz}{dl} \psi \right) dl - \pi a_0 \right] \quad (4.2)$$

Интегральное слагаемое в формуле (4.2) также легко вычисляется. В самом деле, в точках контура L имеем

$$\begin{aligned} \frac{\partial \varphi}{\partial n} &= v_2 \cos(n, y) + v_3 \cos(n, z) + v_4 (y \cos(n, z) - z \cos(n, y)) = \\ &= -v_2 \frac{dz}{dt} + v_3 \frac{dy}{dt} + v_4 \left(y \frac{dy}{dt} + z \frac{dz}{dt} \right) \end{aligned} \quad (4.3)$$

$$\psi = \psi_1 - \int_0^l \frac{\partial \varphi}{\partial n} dl = \psi_1 + v_2 z - v_3 (y - a) - \frac{v_4}{2} (y^2 - a^2 + z^2)$$

Здесь v_2 , v_3 и v_4 — комплексные по j амплитуды поступательных и угловых скоростей.

Подставляя (4.3) в (4.2), находим простую формулу

$$Z = -\rho j \frac{g}{\sigma} e^{j\sigma t} (\pi a_0 + b v_3 + v S v_3) \quad (4.4)$$

где $b = 2a$ — ширина контура L по ватерлинии, а S — площадь, ограниченная этим контуром.

Теперь приступим к вычислению Y . Произведя интегрирование с учетом (4.3), будем иметь

$$\begin{aligned} Y &= -\rho j \frac{g}{\sigma} e^{j\sigma t} (\varphi_{-1} - \varphi_1 + r_1 - r_{-1}) + \rho j \sigma e^{j\sigma t} [S v_2 - ab v_3 + \\ &+ (hS - \frac{2}{3} a^3) v_4 - \psi_1 b] \end{aligned} \quad (4.5)$$

где φ_{-1} и r_{-1} — значения функций φ и r в точке $y = -a$ и $z = 0$, а h —

глубина погружения центра тяжести плоскости. Величина r_{-1} легко определяется. Полагая $\eta = -\pi$ в выражении (2.15) для r , получаем

$$r_{-1} = -a_1 + a_2 - a_3 + a_4 - \dots$$

Поэтому

$$r_1 - r_{-1} = 2(a_1 + a_3 + a_5 + \dots) \quad (4.6)$$

Значение же функции φ в точке $y = -a$ и $z = 0$ определяется при помощи величин, аналогичных функциям P_n

$$\varphi_{-1} = j \frac{g}{\sigma} r_0 e^{j\eta a} + B_- e^{-j\eta a} + a_0 P'_0 - \sum_{n=1}^{\infty} n a_n P'_n \quad (4.7)$$

где

$$P'_n + iQ'_n = e^{j\eta a} \int_{-\infty}^{-1} \frac{e^{j\eta x(\tau)}}{\tau^{n+1}} d\tau \quad (4.8)$$

Подобным путем вычисляется момент гидродинамических сил, выражение которого представим в преобразованном виде:

$$M_x = \frac{1}{\nu} Y + \rho j \frac{g}{\sigma} e^{j\sigma t} \frac{1}{2} \operatorname{Im} \int_{L+L} \bar{x} df + M_0$$

где

$$M_0 = \rho j \frac{g}{\sigma} e^{j\sigma t} \int_L \left(y \frac{\partial \varphi}{\partial n} - \nu z \frac{dy}{dl} \psi + \nu \frac{dz}{dl} y \psi \right) dl$$

Для класса контуров плавных очертаний имеем

$$\bar{x} = y - iz = k_0 \bar{\tau} + k_1 \bar{\tau}^{-1} + k_2 \bar{\tau}^{-3}$$

и так как на единичной окружности $\bar{\tau} = \tau^{-1}$, то $\bar{x} = k_0 \tau^{-1} + k_1 \tau + k_2 \tau^3$.

Воспользовавшись этим выражением, а также (2.14), найдем

$$M_x = \frac{1}{\nu} Y + \pi \rho j \frac{g}{\sigma} e^{j\sigma t} (k_1 a_1 + 3k_2 a_3) + M_0 \quad (4.9)$$

причем на основании (4.3) значение M_0 определяется из формулы

$$M_0 = \rho j \frac{g}{\sigma} e^{j\sigma t} \left[S (1 + 3\nu h) v_2 - 2\nu a S v_3 + \left(2\nu I_y + 2\nu I_z - \nu a^2 S + h S - \frac{2a^3}{3} \right) v_4 - 2\nu \psi_1 S \right] \quad (4.10)$$

Здесь I_y и I_z представляют собой моменты инерции плоскости S относительно осей y и z .

Поступила 25 XI 1952

ЛИТЕРАТУРА

- Хаскинд М. Д. Плоская задача о колебаниях пластины на поверхности тяжелой жидкости. Известия АН СССР, ОТН, № 7—8, 1942.
- Хаскинд М. Д. Давление волны на затравжение. Инженерный сборник, т. IV, вып. 2, 1948.
- Седов Л. И. Плоская задача о глиссировании по поверхности тяжелой жидкости. Труды конференции по теории волнового сопротивления, ЦАГИ, 1937.